

МИНИСТЕРСТВО ОБРАЗОВАНИЯ И НАУКИ РЕСПУБЛИКИ КАЗАХСТАН  
КАЗАХСКИЙ НАЦИОНАЛЬНЫЙ УНИВЕРСИТЕТ ИМЕНИ АЛЬ-ФАРАБИ  
ФАКУЛЬТЕТ ХИМИИ И ХИМИЧЕСКОЙ ТЕХНОЛОГИИ  
КАФЕДРА АНАЛИТИЧЕСКОЙ, КОЛЛОИДНОЙ ХИМИИ И ТЕХНОЛОГИИ РЕДКИХ ЭЛЕМЕНТОВ  
ЦЕНТР ФИЗИКО-ХИМИЧЕСКИХ МЕТОДОВ ИССЛЕДОВАНИЯ И АНАЛИЗА

МАТЕРИАЛЫ  
МЕЖДУНАРОДНОЙ НАУЧНОЙ КОНФЕРЕНЦИИ  
ПО АНАЛИТИЧЕСКОЙ ХИМИИ И ЭКОЛОГИИ,  
посвященной 110-летию со дня рождения  
академика М.Т. КОЗЛОВСКОГО

9-11 октября 2013 г.

Республика Казахстан  
г. Алматы

Калугина С.М.	285, 290, 309, 328	Мурзагулова К.Б.	263
Камысбаев Д.Х.	243	Мусабеков К.Б.	251, 256, 262
Канапиева Ф.М.	53, 54	Мусабеков Н.К.	262
Кашканова Г.М.	165	Мусабекова А.А.	165, 171
Кельина С.Ю.	208	Мухаматдинова А.Р.	282
Кенссов Б.Н.	89	Мухамеджанова Ж.М.	245
Конакбаева Э.Г.	199	Мухин В.М.	33
Коржынбаева К.Б., ВО	256	Нажметдинова А.Ш.	78
Королович В.Ф.	178	Наурызбаев М.К.	66, 141, 173, 199, 222
Коротков И.С.	141	Несветаева Е.И.	36
Косткина А.Д.	42	Нефедов А.Н.	199
Кравченко К.С.	141	Нечепуренко Е.В.	327
Кравчук В.И.	307	Нечипуренко С.В.	173
Кребс Дж.	206	Нижник Я.П.	206
Куанышева Г.С.	101	Низамутдинова Н.Р.	247
Кудабеков Д.М.	31	Ниязбаева А.И.	142
Кудреева Л.К.	147, 148	Носовский Ю.Л.	142
Кузнецова И.Е.	178	Оразбаева Д.С.	306
Курбатов А.П.	153, 159, 228, 309	Оспанова Э.Қ.	84
Кусайнова Ж.Ж.	262	Оспанова Ж.Б.	251
Кутлиахметов А.Н.	247	Пак Л.О.	128
Күдайбергенова Н.А.	147, 148	Панкратов А.Н.	178
Ларина Н.С.	68	Попов Н.В.	285, 290
Леонов К.А.	297	Пьянкова Л.А.	202
Логачева Е.Ю.	135	Рахымбай Г.С.	153
Магасумова А.Т.	282	Романова И.В.	24
Маева К.А.	213	Романова С.М.	24
Мальчик Ф.И.	309	Рустем Болат	230
Мамонтов А.А.	6, 15	Садырбаева Т.Ж.	119
Мамонтова Е.А.	6, 15	Сайлауханулы Е.	317
Мархабуллина Р.Ш.	126	Сафаров А.М.	281, 282
Маслов В.В.	307	Сафарова В.И.	247, 281, 282, 284
Матакова Р.Н.	96	Сейлханов Т.М.	53
Мацелис О.А.	28	Сейлханова Г.А.	84
Медетхан Р.,	256	Сембасов Д.Х.	121
Меркушина Г.А.	68	Сергазиева М.С.	254

Сердюкова А.В.	35	Турганбай С.	262
Серикбаев Б.А.	243	Турмуханова М.Ж.	263
Силинъ Э.Я.	117	Тухмстова Д.Б.	153
Сираева И.Н.	325	Тұрсынболат С.	197
Скаков А.А.	285, 290	Тышченко К.Ю.	309
Смирнова Т.П.	325	Угланова В.З.	28
Соколов А.Ю.	141, 199, 222, 228, 290	Уразов К.А.	213
Сотникова Н.И.	33	Уракаев Ф.Х.	101
Стожко Н.Ю.	202	Утешева А.Е.	89
Сугурбекова Г.К.	230	Учанов П.В.	33
Суербаев Х.А.	53, 54	Филимоненко Е.А.	75
Супиева Ж.	147, 148	Хадыев И.Р.	284
Сыдыкова Ф.Б.	299	Ходос М.Я.	202
Талбаев Т.Д.	254	Холкин О.С.	199, 222, 228
Таловская А.В.	75	Хусурова Г.М.	213
Тарасова Е.Н.	6, 15	Цивилева О.М.	178
Тастanova A.M.	199	Цымбал Д.О.	208
Таубаева Р.С.	262	Чавар Э.Я.	279
Төжібаева С.М.,	256	Черкасова О.А.	28
Терсхов А.В.	35	Шайдулина Г.Ф.	247, 281
Тимофеев А.А.	116	Шалдыбаева А.М.	62, 165, 171, 254
Токпасев Р.Р.	245	Шихабудинов А.М.	178
Токтарбай Ж.	251	Шорабекова У.Б.	254
Третьяков А.В.	116, 277	Юсупова Л.М.	126
Троеглазова А.В.	307	Юсупова Р.С.	126
Тукенова З.А.	59	Язиков Е.Г.	75
Тулебеков Е.А.	142		

## МЕТИЛЕН КӨГІНІЦ ДИАТОМИТ БЕТІНДЕГІ АДСОРБЦИЯСЫНЫҢ ЕРЕКШЕЛІКТЕРІ

Қоржынбаева Қ.Б.<sup>1</sup>, Медетхан Р.<sup>1</sup>, Диаз М.Я.<sup>2</sup>,  
Тәжібаева С.М.<sup>1</sup>, Мұсабеков Қ.Б.<sup>1</sup>

<sup>1</sup>Әл-Фараби атындағы Қазак ұлттық университеті,  
химия және химиялық технология факультеті  
Қазақстан, Алматы қ., tazhibayeva\_s@mail.ru

<sup>2</sup>Сантьяго де Компостела университеті,  
Испания, Сантьяго де Компостела қ., yanezdiaz.maría@gmail.com

Метилен көгі бояуының диатомит бетіндегі адсорбциясы зерттелді. Адсорбцияның көрсеткіштерінің теріс зарядты силанол топтарымен метилен кациондарының арасындағы электростатикалық әрекеттесулер арқылы жүргізілді. Адсорбцияның пәрмендігіне орта pH-ның әсерін зерттеу адсорбция pH өсken сайын жоғарылайтындығын көрсетті. Метилен көгі – диатомит бояудың концентрациясына байланысты адсорбциямен қатар бояу ассоциаттардың диатомит бөлиектері арасында гетерокоагуляция үрдісі жүрүмүкіндігі көрсетілді.

Қазіргі заманда өндіріс суларында тірі ағзаларға және қоршаған ортага әсер тигізетін ауыр металл иондары және детергенттер, бояулар, фенолдар, органикалық заттар көп мөлшерде жинақталады [1, 2]. Суды металл иондары тазартуға арналған зерттеулер жеткілікті болғанымен [3], одан бояуларды бөліп шундағытталған жұмыстар жоқтың қасы. Осыған орай жұмыста метилен көгі бояудың диатомит бетіндегі адсорбциясы қарастырылды.

### Тәжірибелік болім

Зерттеу нысандары. Жұмыста бояу ретінде метилен көгі қолданылды. Адсорбцияның көрсеткіштерінде Мұғалжар кен орнының диатомиті пайдаланылды.

Зерттеу әдістері. Спектрофотометрия. Метилен көгі ерітінділерде оптикалық тығыздығын анықтау UV-7504 спектрофотометрінде жүргізілді. Зерттеудерде ұзындығы, ені және биіктігі сәйкесінше 2×1×3 см болатын кювета қолданылды. Өлшеулер ±0,001% дәлдікпен жүргізілді.

Электронды-микроскопиялық түсірілімдер. Диатомит бөлиектерінің электронды-микроскопиялық суреті электронда – зондты микроанализатор (ICXA-Э 334) арқылы анықталды.

Электрофорез. Диатомит бетінің заряды электрофорез әдісімен анықталды. Сондай-ақ үшін минреал бөлиектерінің электр өрісіндегі жылжымалылығы анықталды.

Электркинетикалық потенциал мәнін ( $\zeta$ ) Гельмгольц-Смолуховский тенденциясынша есептелді.

Адсорбция. Метилен көгінің статикалық жағдайдағы адсорбциясы 298 K температурасында анықталды. Ол үшін диатомит үлгілері C<sub>1</sub> концентрациялық ерітінділерге салынады. Адсорбцияның көрсеткіштерінде 2 сағаттан кейін адсорбент ерітінділерден болшіп, адсорбцияланады. Метилен көгінің концентрациясы C<sub>2</sub> анықталды. Адсорбция мәні келесі формула бойынша табылды:

$$A = \frac{C_1 - C_2}{m} \cdot V,$$

мұндағы m – диатомит массасы, г;

V – адсорбция үшін қолданылған ерітінді колемі, мл.

## Нәтижелерді талқылау

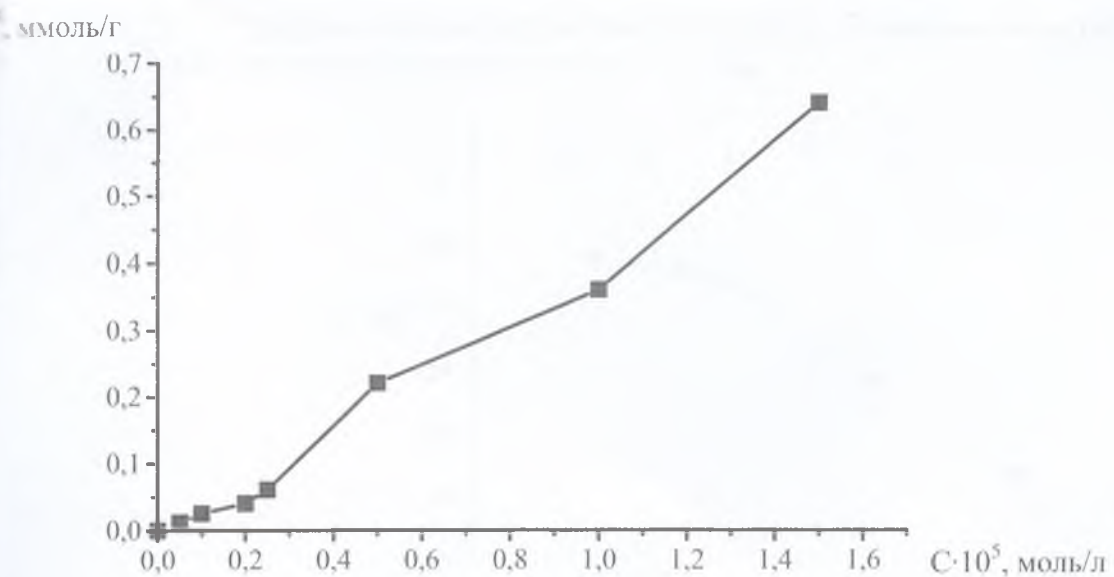
Адсорбциясын зерттеуде негізгі киындық оның сорбциясын бағалауға концентрациясын табу, себебі оның төмен концентрациясының өзінде оның оптикалық тығыздығы ете жоғары (1-кесте). Кестеден көрініп 640 нм толқын ұзындығында  $1 \cdot 10^{-5}$  моль/л концентрациялы ертіндінің тығыздығы максималды мәнге иеленеді,  $D=0,79$ . Сол себепті адсорбцияның  $1 \cdot 10^{-5} - 1 \cdot 10^{-4}$  моль/л концентрациялар аралығы алынды, ал оптикалық 640 нм-де өлшенді.

Метилен көгінің оптикалық тығыздығының толқын ұзындығына тәуелділігі. моль/л.

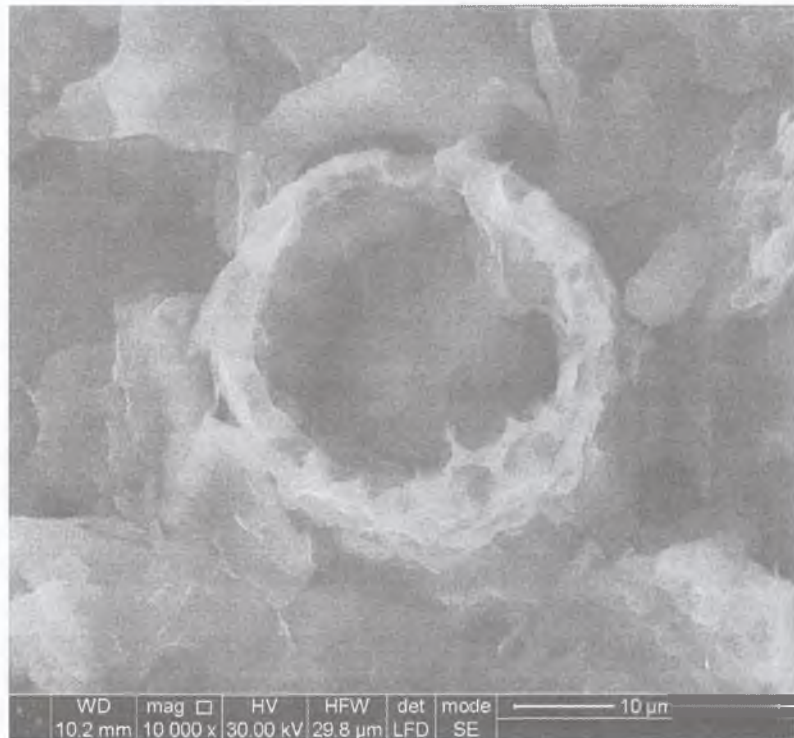
	240	280	320	360	400	440	480	520	560	600	640	680
236	2,98	2,95	0,29	0,06	0,05	0,05	0,07	0,08	0,21	0,55	0,79	0,59

Метилен көгінің диатомит бетіндегі адсорбция қисығы 1-суретте берілген. 1г бетіндегі адсорбция шамасы  $0,01 \cdot 10^{-4}$  ммоль/г-нан  $0,63 \cdot 10^{-4}$  ммоль/г-ге дейін түр. Бірақ бұл адсорбция қисығының ерекшелігі оның ішінің S-тәрізділігі беттің қанығуына сәйкес болатын платоның жоқтығы. Сол себепті адсорбция шамасы Ленгмюр бойынша өндөліп, максималды адсорбция анықталды, оның мәні  $1 \cdot 10^{-4}$  ммоль/г қурады.

Диатомиттің өзіне келетін болсак, ол-кеуекті табиги минерал. Кеуектерінің бірнеше нанометрден 2-3 микрометрге дейін жетеді (2-сурет). Химиялық 65,83%  $\text{SiO}_2$  және 8,66%  $\text{Al}_2\text{O}_3$ . Қалған оксидтер 0,5-3,0% шамасында (2 кесте).



1 сурет – Метилен көгінің диатомит бетіндегі адсорбциясының қисығы.  
 $C_0 = 1 \cdot 10^{-5}$  моль/л

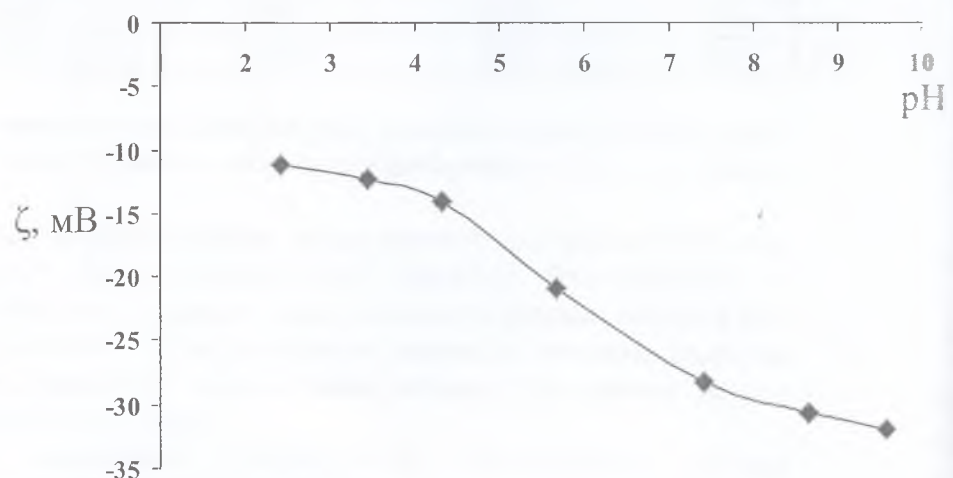


2 сурет – Диатомиттің электронды-микроскопиялық суреті.

2 кесте – Диатомиттін химиялық құрамы

Кұрамы	Na <sub>2</sub> O	MgO	Al <sub>2</sub> O <sub>3</sub>	SiO <sub>2</sub>	SO <sub>3</sub>	Cl <sub>2</sub>	K <sub>2</sub> O	CaO	TiO <sub>2</sub>	Fe <sub>2</sub> O <sub>3</sub>
Мөлшері, %	0,75	1,01	8,66	65,83	0,56	1,16	0,47	0,49	2,98	0,05

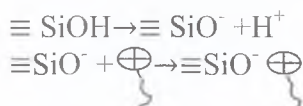
Диатомит бөлшектері бетінің заряды теріс,  $\xi$ - потенциалы -21 мВ-ке тен (3-сур.) ал сулы суспензияларының pH-ы 5,7-ге тен.



3 сурет – Диатомит бөлшектеріңің электркинетикалық потенциалының тәуелділігі.

Метилен көгі катиондық бояуларға жатады, оның оң зарядын =N= қамтамасыз етеді. Олай болса бояу молекулаларының диатомит адсорбциясын минералдан теріс зарядты сианол топтарымен оң зарядты ме-

нын арасында пайда болатын электростатикалық әрекеттесулермен түсіндіруге Яғни адсорбция мына сызба- нұсқа бойынша жүруі мүмкін:



Адсорбцияның пәрменділігіне әртүрлі факторлар өсер етуі мүмкін: ерітіндінің ы концентрациясы, ортаның pH-ы, фазалардың жанасу уақыты және т.б.

Тәмен және жоғары концентрациялардағы адсорбция мәндері алишактығын (1-бояу молекулаларының БАЗ молекулалары сияқты дифильділігімен түсіндіруге Әдебиеттен [4] адсорбция барысында адсорбцияланатын молекулалар алдыңғы әннеланган молекулалар қасына қонағындығы белгілі. Бұл фактінің өзі бояу үлаларының арасында гидрофобтық әрекеттесулердің басты рөл ойнайдындығын көрсетеді. Олай болса бояуларда БАЗ ерітінділеріндегі мицелла түзуге үқсас өзара әннелация жүреді деп болжауға болады. Сол себепті бояудың жоғары концентрациясында адсорбция күрт жоғарыладап отыр.

Осыған сәйкес бояудың судан бөліну дәрежесі де өсіп отыр (3-кесте). Егер томен концентрацияларда (0,05 ммоль/л) бөліну дәрежесі 56,1% болса, жоғары концентрацияларда 0,5 ммоль/л судың бояудан тазалану дәрежесі 92,6% құрайды. Метилен көгінен метилен көгінің десорбциясы 9,6-18,3% аралығында жатыр.

**3-кесте – Метилен көгін диатомит көмегімен судан бөлу**

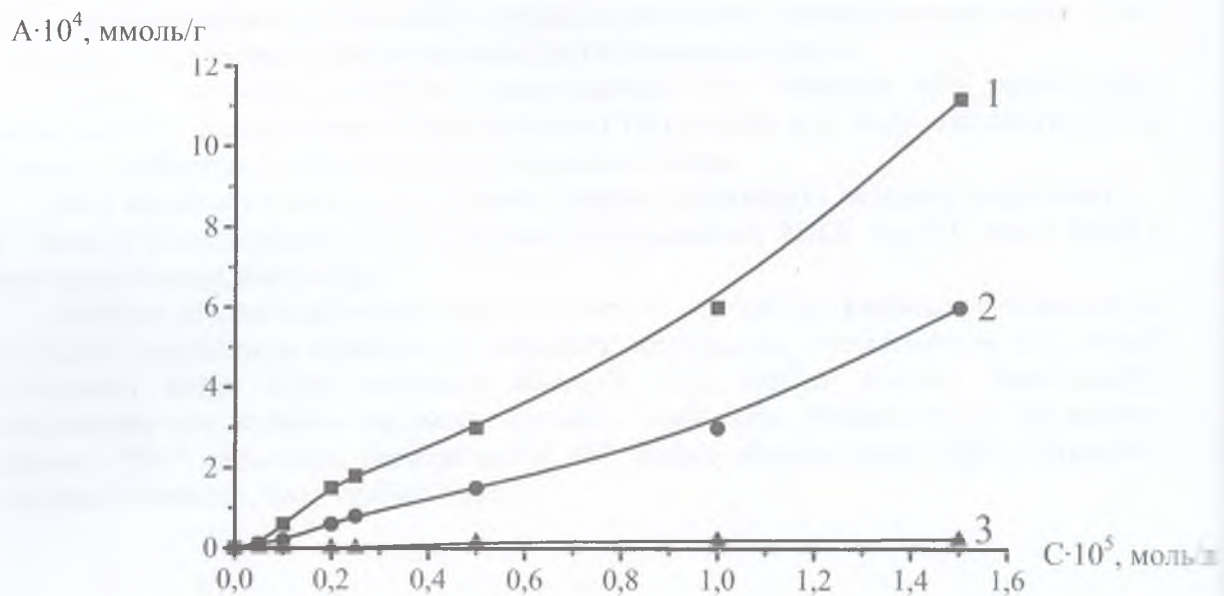
C, ммоль/л	C <sub>2</sub> , ммоль/л	ΔC, ммоль/л	R, %	D, %
0,05	0,022	0,028	56,1	18,3
0,1	0,04	0,06	60,0	15,4
0,2	0,056	0,144	72,4	13,6
0,25	0,045	0,205	82,3	11,9
0,5	0,037	0,463	92,6	10,6
1	0,04	0,96	96,3	9,6
1,5	0,045	1,455	97,0	10,7

Метилен көгі молекулаларының ассоциациясының адсорбция пәрмендігіне өсерін адсорбция жүретін ыдыстың беттік ауданын өзгерту тәжірибелерінен байқауга болады (5-сурет).

Адсорбция жүретін ыдыс бетінің ауданын 6 есе үлғайту адсорбция мәнін бір түрлікке жоғарылатып отыр. Бояу молекулалары дифильді болғандықтан су ерітінділерде сүйық/газ шекарасына ұмтылып, онда мономолекулалық қабат түзеді. Жеке молекулалардың диатомит бетіне қонуының көлемдегі ассоциацияланған структуралардың адсорбциясына қарағанда ықтималдығы жоғары. Сол себепті жанасу үлкейген сайын адсорбция да есе береді.

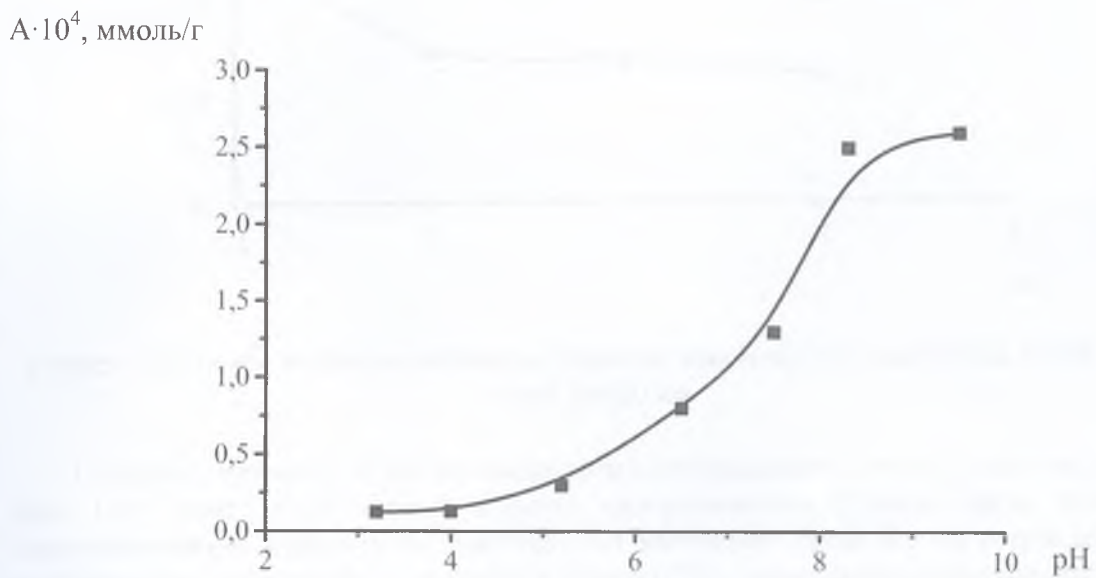
Адсорбция үрдісінің пәрмендігін өзгерту үшін қышқылдығы әртүрлі ерітінділерде адсорбция қарастырылды (5-сурет). Ортаның pH-ы 3-4 болғанда адсорбция минималды мәнге, ал pH 8-9 шамасында максималды мәнге жетті. Қышқыл да адсорбцияның төмендеуін диатомиттің теріс зарядты топтарымен әрекеттесуге зарядты бояу иондары мен H<sup>+</sup>-иондардың бәсекелесуімен түсіндіруге болады. Текені диатомиттің силанол топтары қышқылдың H<sup>+</sup>-иондарымен протонданады:

$\text{SiOH} + \text{H}^+ \rightarrow \text{SiOH}_2^+$ . Ал негіздік ортада, керісінше, диссоциация жүреді:  $\text{SiOH} + \text{OH}^- \rightarrow \text{SiO}^- + \text{H}_2\text{O}$ .



4 сурет – Метилен көгінің диатомит бетіндегі адсорбциясының беттік аудан шамасына тәуелділігі:

$$S_1=72,3 \text{ см}^2(1); S_2=40,72 \text{ см}^2 (2); S_3=13,2 \text{ см}^2 (3).$$



5 сурет – Метилен көгінің диатомит бетінде pH- қа тәуелді адсорбциялану қисығы,  $m_d=1 \text{ г}$ ,  $V_e=10 \text{ мл}$ .

Диатомит бетінде теріс зарядты функционал топтарының көбеюі, әрине, сілтілік ортада адсорбция мәнінің жоғарылауына апарады.

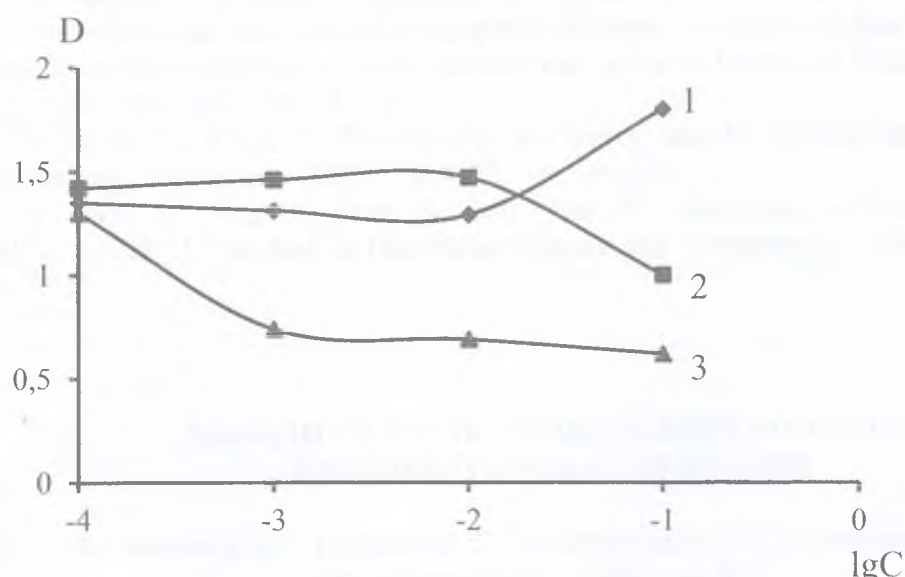
Диатомит бөлшектерінің бетіндегі теріс зарядтылығы және жоғары кеуектілігі олардың суспензияларына агрегативтік тұрақтылық береді: сол себепті диатомит суспензияларының тұрақтылығы үзак уақыт бойы сақталады. Ал метилен көгі

Бояуының ассоциацияға бейімділігі жогарыда негізделді. Молекула өлшемдері үлкен болғандықтан олардың ассоциаттарының ірі болатындығы сөзсіз.

Осының негізінде диатомит суспензиялары мен метилен көгі ерітінділерін тұраластырганда адсорбциямен қатар диатомит бөлшектері мен бояу ассоциаттарының гетерокоагуляциясы жүруі мүмкін деп болжауга болады.

Бояу ассоциаттарының коагуляцияға үшірау мүмкіндігін дәлелдеу үшін оның  $10^{-4}$  моль/л концентрациялы ерітіндісінің тұрақтылығының  $\text{NaCl}$ ,  $\text{Na}_2\text{SO}_4$  және  $\text{Na}_3\text{PO}_4$  қатысында бақыладық (6-сурет).

Жүйенің оптикалық тығыздығы 1-1-валентті электролит қатысында аздала өседі, ал  $\text{Na}_2\text{SO}_4$  қатысында оптикалық тығыздық жоғарылаپ, электролиттің 0,1 моль/л мөлшерінен кейін күрт томендей бастады. Бұл корініс көдімгі электролитті коагуляцияға тән жүйенің алдымен лайланып, одан кейін тұнбаға тұсуі. Ал жогары зарядты  $\text{PO}_4^{3-}$  қатысында электролиттің  $10^{-3}$  моль/л концентрациясында оптикалық тығыздық төмендеп, бояу тұнбаға тұсті.



6 сурет – Метилен көгінің агрегативтік тұрақтылығына  $\text{NaCl}$  (1),  $\text{Na}_2\text{SO}_4$  (2),  $\text{Na}_3\text{PO}_4$  (3) өсері,  $\lambda=640$  нм.

Сонымен, метилен көгі коагуляциясының табалдырығы 2 және 3 зарядты иондар үшін  $1 \cdot 10^{-1}$  және  $1 \cdot 10^{-3}$  моль/л құрауы коагуляцияның Шульце-Гарди ережесіне толығымен сәйкес жүретіндігін көрсетеді. Ал электролиттердің бояуға өсерін олардың коагуляциялық қабілеттімен  $\gamma$  сипаттауга болады. Ол – коагуляция табалдырығына көрішама және  $\text{SO}_4^{2-}$  пен  $\text{PO}_4^{3-}$  иондары үшін 10:1000 қатынасында болды:

$$\gamma_2 = \frac{1}{1 \cdot 10^{-1}} = 10$$

$$\gamma_3 = \frac{1}{1 \cdot 10^{-3}} = 1000$$

Бұл көрсеткіштер метилен көгі бояуының электролиттермен коагуляцияланатындығын және теріс зарядты диатомит бөлшектерінің ұсақ бөлігімен гетерокоагуляция механизмі бойынша біріге алатындығын дәлелдейді.

Гетерокоагуляцияның дәлелі ретінде агрегативті тұрақты диатомит суспензияның бояу өсерінен шөгүй де атауга болады.

Сонымен, метилен көгінің диатомит бетіндегі адсорбциясында иондардың адсорбциясымен қатар қарсы зарядталған диатомит болшектері мөлдөмдік ассоциаттарының коагуляциясы жүруі мүмкін. Бояудың төмен концентрациясында адсорбциялық, ал жоғары концентрацияларында коагуляциялық үрдістер басым береді. Ал адсорбцияның өзі бояу молекулалары мен диатомит бетінің силанол арасындағы электростатикалық әрекеттесулермен негізделеді. Адсорбциялық үрдістер пәрменділігі бояудың концентрациясына, жанасу бетінің ауданына және орташа тұрақтылыққа тәуелді.

### Әдебиеттер тізімі

1. Irani M., Amjadi M., Mousaviana M. Comparative study of lead sorption by natural perlite, dolomite and diatomite // Chemical Engineering Journal – 2011. – Vol. 157. – P.317– 323.
2. Namora A., Gamouz A., Frangiea S., Martinez V., Valiente L., Web O. Removal of heavy metals from water by diatomite: effect of pH and the volume down on heavy metals using tuned diatomite. A review of diatomite and diatomite for the extraction of heavy metals from water // Journal of Hazardous Materials – 2012. – Vol. 241– 242. – P. 14– 31.
3. Wang J., Chen C. Biosorbents for heavy metals removal and their application // Biotechnology Advances – 2009. – Vol. 27. – P. 195-226.
4. Chen G., Pan J., Han B., and Yan H. Adsorption of methylene blue onto montmorillonite // – Journal of Dispersion Science and Technology – 1999. – Vol. 20. – P. 1179–1187.

## АЛМАЛИТ В РАЗДЕЛЕНИИ БЕЛКОВ МЕТОДОМ ИЗОЭЛЕКТРОФОКУСИРОВАНИЯ

Мусабеков К.Б.<sup>1</sup>, Турганбай С.<sup>2</sup>, Азимбекова Г.Т.<sup>3</sup>, Кусайнова Ж.Ж.<sup>2</sup>,  
Мусабеков Н.К.<sup>1</sup>, Таубаева Р.С.<sup>1</sup>

<sup>1</sup>Казахский национальный университет им. аль-Фараби;

<sup>2</sup>Казахский национальный технический университет им. К.И.Сатпаева;

<sup>3</sup>Казахский национальный педагогический университет им. Абая:

<sup>4</sup>Казахский национальный медицинский университет им. С. Асфендиярова  
Казахстан, г. Алматы, Kuanyshbek.Musabekov@kaznu.kz

Одним из эффективных метод разделения и анализа белков является изоэлектрофокусировка (ИЭФ) [1]. Он основан на принципе разделения биополимеров в соответствии с их изоэлектрическими точками в градиенте, создаваемом специальными реактивами – амфолитами-носителями. Преимущество метода ИЭФ перед другими физико-химическими методами разделения состоит в тонком разделении белков с близкими (различающимся всего-лишь ±0,07 pH) изоэлектрическими точками (ИЭТ) и проведении этого процесса в условиях, предотвращающих белки от денатурации экспериментальных условиях. Поэтому метод ИЭФ находит широкое применение в новом направлении науки – химической биологии.